

4. Гапонов С. А., Маслов А. А. Устойчивость сверхзвукового пограничного слоя с градиентом давления и отсасыванием.— В кн.: Развитие возмущений в пограничном слое. Новосибирск: ИТПМ СО АН СССР, 1979.
5. Дорренс У. Х. Гиперзвуковые течения вязкого газа. М.: Мир, 1966.
6. Линь Ц. Ц. Теория гидродинамической устойчивости. М.: ИЛ, 1958.
7. Mack L. M. A numerical method for the prediction of high-speed boundary-layer transition using linear theory.— In: Aerodynamic Analysis Requiring Advanced Computers. NASA — SP — 347, 1975.
8. Mack L. M. The inviscid stability of the compressible laminar boundary-layer.— JPL Space Programs Summary 37—36, 1964, v. 4.
9. Gill A. A. Instabilities of «top-hat» jets and wakes in compressible fluids.— Phys. Fluids, 1965, v. 8, N 8.
10. Mack L. M. Boundary layer stability theory.— Document 900—277, Rev. A. Pasadena, California.— JPL, 1969.
11. Fisher D. F., Dougherty N. S. Jr. In-Flight transition measurement on a 10° cone at Mach numbers from 0.5 to 2.0. NASA—TP — 1971, June 1982. (AIAA Paper N 80—0154; AIAA 18th Aerospace Sciences Meeting, Jan. 14—16, 1980).
12. Beckwith I. E., Bertram M. H. A survey of NASA Langley studies on high-speed transition and the quiet tunnel. NASA—TM—X—2566, 1972.
13. Demetriades A. New experiments on boundary layer stability including wall temperature effects.— In: Proceedings of the 1978 Heat Transfer and Fluid Mechanics Institute, Standford University Press, 1978.
14. Brown W. B. Exact numerical solution of the complete Lees — Lin equations for the stability of compressible flow.— In: Summary of Laminar Boundary Layer Control Research, 1964, v. 2.

Поступила 2/I 1985 г.

УДК 533.6.011

## ЭКСПЕРИМЕНТАЛЬНОЕ ИССЛЕДОВАНИЕ ТЕЧЕНИЯ В МОДЕЛИ КОНВЕРГЕНТНОГО ВОЗДУХОЗАБОРНИКА С ПЛОСКИМИ СТЕНКАМИ

Б. И. Гутов, В. В. Затолока

(Новосибирск)

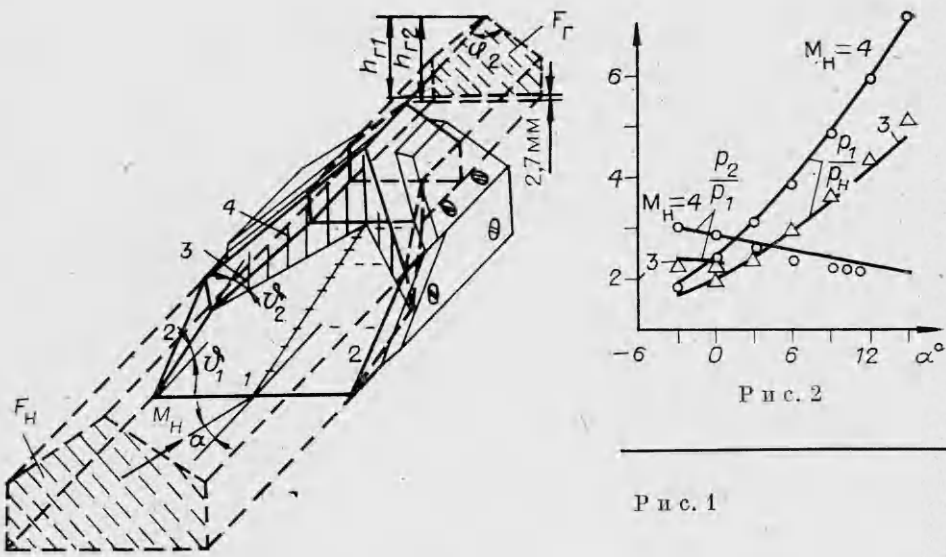
В последнее время наряду с традиционными двумерными конфигурациями воздухозаборников (плоскими и осесимметричными с центральным телом — дивергентными) все большее внимание исследователей привлекают пространственные конфигурации, несмотря на значительные усложнения получения экспериментальных и расчетных данных об их обтекании. Пространственные конфигурации дают перспективу получать уменьшенные площади стенок каналов [1—3], а также улучшенные характеристики воздухозаборников на нерасчетных режимах [4—6]. Среди них конфигурации конвергентных воздухозаборников (КВЗ) [2—4, 6, 7] дают компактные поперечные сечения каналов и за счет этого, в частности, уменьшает площади их стенок.

В данной работе исследуется течение в модели КВЗ, конфигурация которого построена путем вырезки по линиям тока из течения в воздухозаборниках, рассмотренных в [7] (рис. 1). Течение в таких КВЗ носит существенно пространственный характер, однако на расчетном режиме на участке внешнего сжатия параметры течения идеального газа определяются с помощью простых соотношений для плоских скачков уплотнения. Эти же соотношения можно использовать и для приближенных оценок параметров течения на нерасчетных режимах.

Характерная особенность течения на участке внешнего сжатия КВЗ этого типа — пространственное взаимодействие косых скачков уплотнения с пограничным слоем. Оно может быть весьма сложным (образуются отрывные области, вызывающие изменения структуры внешнего потока) и зависит от многих параметров: чисел Маха и Рейнольдса, состояния пограничного слоя, углов поворота потока в скачках, теплообмена и др. Исследование различных течений с этой особенностью на поверхностях тел посвящено большое число работ (например, [8—10]). Расчет такого типа течений пока не представляется возможным. Поэтому необходимы экспериментальные исследования течения в моделях КВЗ.

Цель данной работы — проверка реализуемости расчетного течения идеального газа, выяснение особенностей взаимодействия скачков уплотнения с пограничным слоем, определение структуры течения на участке внешнего сжатия КВЗ в диапазонах чисел Маха набегающего потока  $M_{\infty}$  и углов атаки  $\alpha$ .

Модель КВЗ (рис. 1) имела расчетное число Маха  $M_{\infty} = 4$ ; угол наклона начального клина  $\vartheta_1 = 9,4^\circ$ ; угол наклона вторичных клиньев  $\vartheta_2 = 13,3^\circ$ ; полуугол между плоскостями щек  $\varphi_2/2 = 55,3^\circ$ ; суммарную



степень сжатия на расчетном режиме  $F_h/F_r = 3,02$ , где  $F_r$  — площадь по-перечного сечения горла канала,  $F_h$  — площадь фигуры проекции передних кромок воздухозаборника на лобовую плоскость набегающего потока при нулевом угле атаки.

Начальная поверхность сжатия КВЗ — клин 1. Плоскость генерируемого им скачка уплотнения на расчетном режиме ( $M_h = 4$ ,  $\alpha = 0$ ) лежит на передних кромках воздухозаборника. На начальном участке клин имеет две боковые щеки 2, препятствующие боковому растеканию потока, поэтому в большой области за начальным скачком уплотнения течение на клине должно быть плоским или близким к плоскому в широком диапазоне  $M_h$  и углов атаки. Дальнейшее сжатие осуществляется с помощью двух вторичных боковых клиньев 3, которые генерируют скачки уплотнения 4, взаимодействующие с пограничным слоем на начальном клине. Эксперименты проведены в трубе Т-313 ИТПМ СО АН СССР при  $M_h = 4,0$  и  $3,0$ ,  $Re_h [1/m] = 51 \cdot 10^6$  и  $35 \cdot 10^6$  соответственно в диапазоне углов атаки  $\alpha = -3-15^\circ$  (в [11] приведены результаты при  $M_h = 1,79-4,76$ ). Пограничный слой на клине в области взаимодействия со скачками уплотнения в этих условиях по проведенным оценкам турбулентный либо переходный. Наклоны поверхностей сжатия модели  $\Phi_1$  и  $\Phi_2$  поправлены (уменьшены) по сравнению с расчетными, полученными для течения идеального газа (отношение удельных теплоемкостей  $\kappa = 1,4$ ), с учетом толщины вытеснения пограничного слоя в этих условиях.

В испытаниях использованы экспериментальные методы: теневой метод Типлера, измерения статических давлений на поверхности сжатия воздухозаборника в 20 точках (см. рис. 1), метод маслосажевой визуализации на обтекаемых поверхностях.

Сравнение отношений давлений на начальном скачке  $p_1/p_h$  (рис. 2), полученных в расчете и эксперименте для модели рис. 1 (давление  $p_1$  измерялось в точке на клине на расстоянии 20 мм от передней кромки), свидетельствует о хорошем соответствии. Удовлетворительное согласование наблюдается и при сравнении отношений давлений  $p_2/p_1$  на втором скачке 4 (рис. 2).

На расчетном режиме эксперименты показали, что сверхзвуковое течение на участке внешнего сжатия близко к расчетному, за исключением небольшой области взаимодействия вторых скачков уплотнения с пограничным слоем: второй скачок вызывает пространственный косой отрыв пограничного слоя, что предсказывали и предварительные оценки. Маслосажевые следы на поверхности модели отчетливо выделяют (рис. 3, а) линию отрыва 1 (линию стекания) и линию присоединения 3 за областью

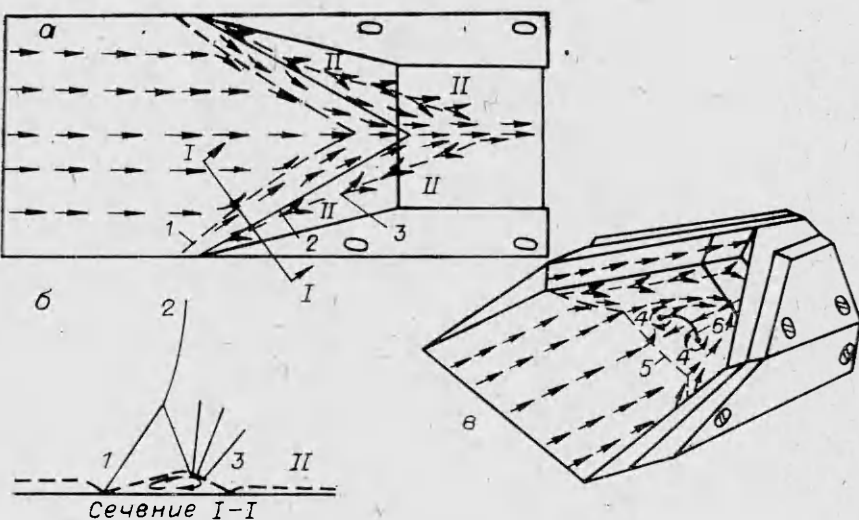


Рис. 3

отрыва (линию разтекания). Следовательно, область отрыва локальная. Расчетный след бокового скачка 2 проходит между линиями 1 и 3. Маслосажевые следы показывают, что перед линией отрыва 1 линии тока у поверхности тела поворачивают вдоль линии 1 (рис. 3). В результате пограничный слой, наросший на основной поверхности сжатия (начального клина), сносится к середине этой поверхности, т. е. к плоскости симметрии воздухозаборника. Значит, в этом месте толщина пограничного слоя увеличивается. В то же время снос пограничного слоя, наросшего на начальном участке поверхности перед линиями косого отрыва, должен привести к уменьшению толщины пограничного слоя на участках поверхности II-II (рис. 3, а, б) за линиями 3 присоединения косого отрыва, что должно улучшить способность пограничного слоя к эффективному преодолению дальнейших скачков или градиентов давления на этих участках.

На расчетном режиме давление на клине вдоль средней линии  $p(x)/p_n$  (рис. 4, а) постоянно вплоть до точки схождения правой и левой линий косого отрыва. Затем оно увеличивается скачкообразно, а далее растет плавно. В поперечном сечении I величины давлений  $p/p_n$  постоянны по  $z$ . В сечении II при переходе через косой скачок (рис. 4, б) распределение давления имеет плато, характерное для локального отрыва турбулентного пограничного слоя. На рис. 4, б для сечения II нанесены положения

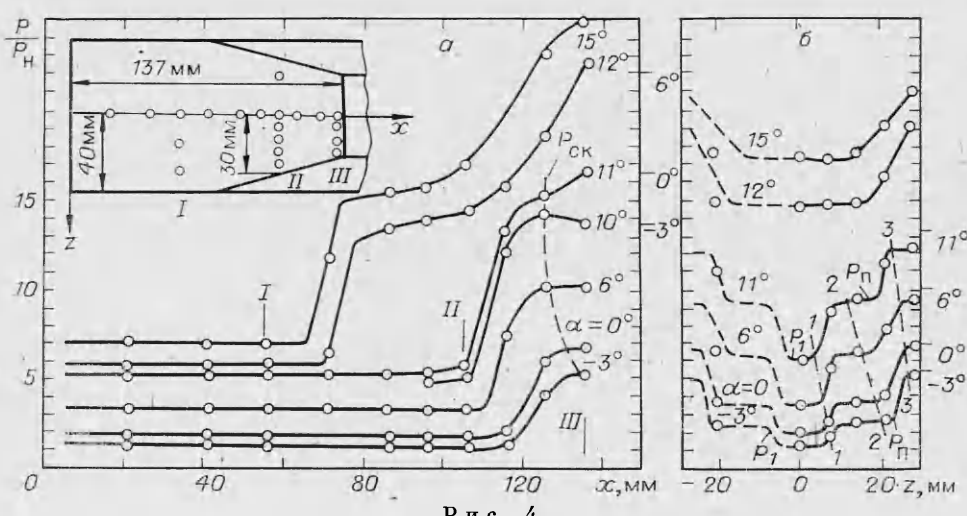


Рис. 4

линии отрыва I (линии стекания) и линии присоединения 3 (линии растекания), определенные по маслосажевым следам, а также расчетной линии скачка 2, найденной в предварительном расчете. Видно, что их расположение удовлетворительно согласуется с характерными особенностями распределения давления по  $z$ . В сечении II давление в точке, близкой к двугрannому углу (крайняя правая точка), близко к расчетному (черточки справа на рис. 4, б). В сечении III, находящемся в непосредственной близости ко входу в канал, распределение давлений довольно неравномерное. Область течения, через которую проходит это сечение, есть область взаимодействия пересекающихся вторичных скачков, пограничного слоя и отрывных вихревых течений, зародившихся выше по потоку в локальных косых отрывах и в месте их встречи на средней линии модели, поэтому структура течения в этой области сложная. Значения  $p/p_n$ , полученные в приближенном расчете для сечения III (черточки справа на рис. 4, а), выше экспериментальных. Это расхождение, вероятно, тоже объясняется сильным влиянием пограничного слоя.

При изменении угла атаки в некотором диапазоне ( $\alpha = -3-11^\circ$ ) теневая картина течения качественно не изменяется. Поверхность начального скачка на участке внешнего сжатия близка к передним кромкам воздухозаборника. Однако при дальнейшем увеличении  $\alpha$  внезапно образуется головная волна на некотором расстоянии перед входом в канал, которая хорошо видна на теневой картине. На рис. 4, а также видно, что в диапазоне  $\alpha = -3-11^\circ$  распределение давления качественно не изменяется и аналогично распределению на расчетном режиме, но при  $\alpha = 12^\circ$  место роста давления оказывается значительно ближе к передней кромке ( $x = 65$  мм), чем при  $\alpha = 11^\circ$  ( $x = 100$  мм). Резко изменяется распределение давления и в сечениях II и III. Это же наблюдается и в маслосажевой картине, которая тоже была качественно неизменна при  $\alpha = -3-11^\circ$ , а при  $\alpha = 12^\circ$  показала возникновение поперечного отрыва 5 с образованием парного вихря (см. рис. 3, в). В пространстве этот вихрь является полукольцевым, а его дугообразная ось вращения 6 опирается своими концами в обтекаемую поверхность (две точки 4 на рис. 3, в). Поперечный отрыв вызывает зарождение вышеупомянутой головной волны.

При  $M_n = 3$ ,  $\alpha = -3-15^\circ$  экспериментальные данные аналогичны вышеописанным при  $M_n = 4$ : головная волна перед входом в канал, согласно теневой картине, возникла при  $\alpha = 3^\circ$ , резкое изменение в распределении давления при  $M_n = 3$  наступило при  $0 < \alpha \leq 3^\circ$ . Таким образом, на данной модели КВЗ при увеличении  $\alpha$  поперечный отрыв возникает при  $\alpha = 11-12^\circ$  для  $M_n = 4$  и  $\alpha = 0-3^\circ$  для  $M_n = 3$ .

Аналогичные эксперименты проведены на модели КВЗ с увеличенным по площади на 9% горлом за счет углубления канала ( $F_n/F_r = 2,77$ ,  $h_{r2} = 32,9$  мм) (см. рис. 1). Это небольшое увеличение горла привело к значительным улучшениям течения: уменьшились в несколько раз поперечный и продольный размеры поперечного отрыва, который для  $M_n = 4$  возникал уже при  $\alpha \approx 15^\circ$ . Изменения в распределении давления при  $M_n = 3$  и 4, сопровождающие его возникновение, стали значительно слабее.

Итак, полученные экспериментальные результаты показывают, что на участке внешнего сжатия исследованного воздухозаборника наблюдаются довольно сложные взаимодействия скачков уплотнения с пограничным слоем, включая пространственные отрывы пограничного слоя. Важной особенностью является то, что в данном случае имеются скачки уплотнения, линии пересечения которых с поверхностью сжатия проходят под острым углом по отношению к линиям тока, тогда как в других типах воздухозаборников — в традиционных плоских и дивергентных, а также в конвергентных, построенных на основе вырезок из осесимметричных течений [2, 3], линии скачков, по крайней мере на начальной поверхности сжатия, проходят подerek линий тока. Следствие этого — отрыв пограничного слоя на поверхности сжатия рассмотренного воздухо-

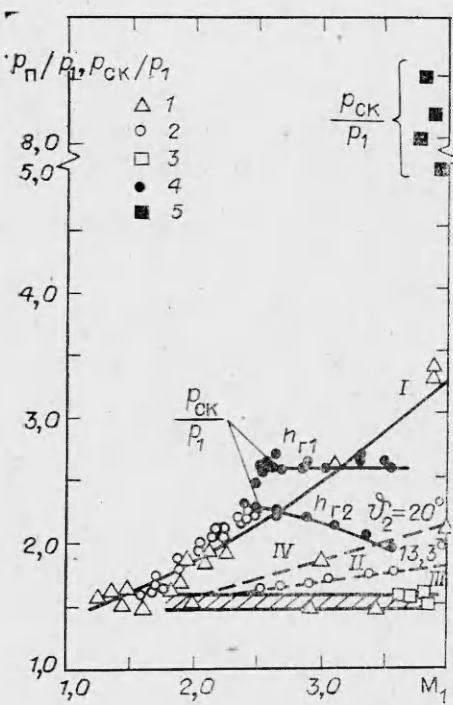


Рис. 5

Экспериментальные результаты, формирующие линию  $II$ , получены в настоящих испытаниях и относятся к косому отрыву, вызванному вторыми скачками. Величины  $p_n$  и  $p_1$  взяты из распределения давления на линии дренажных точек  $II-II$  (см. рис. 4, б). Видно, что значения  $p_n/p_1$  при отрыве в данном воздухозаборнике (линия  $II$ ) меньше, чем в других воздухозаборниках (линия  $I$ ). Линия  $IV$ , идущая выше линии  $II$ , образована для значения  $\vartheta_2 = 20^\circ$  точками 1 из [9].

Косой отрыв как явление, значительно отличающееся от поперечного отрыва, выделен в [10], где, в частности, заявлено и подкреплено экспериментальными данными, что скачок давления при возникновении косого отрыва  $p_n/p_1$  равен примерно 1,5–1,6 и остается постоянным при увеличении  $M_1$ . Экспериментальные точки 1 [10] образуют на рис. 5 линию  $III$ , на которую попадают и точки 3 из [13], где косой отрыв обнаружен в сопле на режимах перерасширения и там оказал существенное положительное влияние на течение. Видно, что линия  $III$  лежит ниже линии  $II$ . Как указано в [10], линия  $III$  соответствует возникновению косого отрыва.

Выше на основании маслосажевых картин отмечено, что косые отрывы сносят пограничный слой к середине поверхности основного клина — к тому месту, где сходятся правый и левый косые отрывы, и в результате в этом месте толщина пограничного слоя увеличивается. Казалось бы, это должно неблагоприятно сказаться на способности пограничного слоя преодолеть здесь скачок давления. Для выяснения этого вопроса можно обратиться к полученным в опытах распределениям давления вдоль средней линии основного клина  $p(x)/p_n$  (см. рис. 4, а) на тех режимах (углах атаки и  $M_n$ ), где нет поперечного отрыва. Графики показывают, что давление вдоль средней линии на ее участке перед входом в канал испытывает скачкообразное повышение  $p_{sk}/p_1$ .

На рис. 5 для опытов, в которых отсутствовал поперечный отрыв, приведены значения  $p_{sk}/p_1$ . Видно, что  $p_{sk}/p_1$  данных опытов (точки 4) не соответствуют  $p_n/p_1$ , характеризующим явление обычного поперечного

зaborника возникает при скачках давления, значительно меньших, чем в других вышеуказанных воздухозаборниках.

Отрывные свойства пограничного слоя для этих двух случаев взаимодействия иллюстрирует рис. 5, где приведены экспериментальные данные о скачке давления  $p_n/p_1$  при отрыве турбулентного пограничного слоя ( $p_1$  — статическое давление на стенке перед линией отрыва,  $p_n$  — статическое давление на стенке на «плато» за линией отрыва,  $M_1$  — число Маха потока перед отрывом). Линия  $I$  подчиняется эмпирической формуле [12]  $p_n/p_1 = 1 + 0,2 \times M_1^2 / (M_1^2 - 1)^{1/4}$  и хорошо описывает экспериментальные данные [12] (точки 1) и полученные на модели рис. 1 на режимах с поперечным отрывом (точки 2). Ситуация, соответствующая кривой  $I$  (обычный поперечный отрыв), характерна для вышеупомянутых воздухозаборников обычных типов и для конвергентных с осесимметричным течением.

Экспериментальные результаты, формирующие линию  $II$ , получены в настоящих испытаниях и относятся к косому отрыву, вызванному вторыми скачками. Величины  $p_n$  и  $p_1$  взяты из распределения давления на линии дренажных точек  $II-II$  (см. рис. 4, б). Видно, что значения  $p_n/p_1$  при отрыве в данном воздухозаборнике (линия  $II$ ) меньше, чем в других воздухозаборниках (линия  $I$ ). Линия  $IV$ , идущая выше линии  $II$ , образована для значения  $\vartheta_2 = 20^\circ$  точками 1 из [9].

Косой отрыв как явление, значительно отличающееся от поперечного отрыва, выделен в [10], где, в частности, заявлено и подкреплено экспериментальными данными, что скачок давления при возникновении косого отрыва  $p_n/p_1$  равен примерно 1,5–1,6 и остается постоянным при увеличении  $M_1$ . Экспериментальные точки 1 [10] образуют на рис. 5 линию  $III$ , на которую попадают и точки 3 из [13], где косой отрыв обнаружен в сопле на режимах перерасширения и там оказал существенное положительное влияние на течение. Видно, что линия  $III$  лежит ниже линии  $II$ . Как указано в [10], линия  $III$  соответствует возникновению косого отрыва.

Выше на основании маслосажевых картин отмечено, что косые отрывы сносят пограничный слой к середине поверхности основного клина — к тому месту, где сходятся правый и левый косые отрывы, и в результате в этом месте толщина пограничного слоя увеличивается. Казалось бы, это должно неблагоприятно сказаться на способности пограничного слоя преодолеть здесь скачок давления. Для выяснения этого вопроса можно обратиться к полученным в опытах распределениям давления вдоль средней линии основного клина  $p(x)/p_n$  (см. рис. 4, а) на тех режимах (углах атаки и  $M_n$ ), где нет поперечного отрыва. Графики показывают, что давление вдоль средней линии на ее участке перед входом в канал испытывает скачкообразное повышение  $p_{sk}/p_1$ .

На рис. 5 для опытов, в которых отсутствовал поперечный отрыв, приведены значения  $p_{sk}/p_1$ . Видно, что  $p_{sk}/p_1$  данных опытов (точки 4) не соответствуют  $p_n/p_1$ , характеризующим явление обычного поперечного

отрыва пограничного слоя (кривая  $I$ ). Отсюда ясно, что на обсуждаемых режимах взаимодействие пограничного слоя в области около средней линии со скачком давления не является случаем отрыва. Интересно отметить, что ряд значений  $p_{ск}/p_1$  без поперечного отрыва (точки 4) заметно превышают  $p_{п}/p_1$  с поперечным отрывом (линия  $I$ ). Это значит, что пограничный слой в области около средней линии, несмотря на указанное выше его утолщение из-за сноса вдоль косого отрыва, преодолевает скачок давления  $p_{ск}/p_1$ , более высокий, чем скачок  $p_{п}/p_1$ , характерный для турбулентного пограничного слоя при поперечном отрыве. То, что кривые величин  $p_{ск}/p_1$  для двух конфигураций моделей (с первоначальным горлом  $h_{г1}$  и увеличенным  $h_{г2}$ , см. рис. 1) разные, подтверждает, что скачки давления на средней линии, которые были у данных конфигураций испытанного тела (модели воздухозаборника), несмотря на свои довольно большие величины, не отрывали пограничный слой, т. е. не приводили к отделению потока от поверхности тела в области средней линии.

Причина этого — улучшение отрывных свойств пограничного слоя в области средней линии в районе скачка давления, т. е. улучшение наполненности профиля скоростей пограничного слоя вследствие того, что в этой области косо сталкиваются два потока, направленные навстречу друг другу (с правой и с левой сторон воздухозаборника, см. рис. 3, а, б). Аналогичное явление отмечалось в работе [13], согласно которой на рис. 5 приведены точки 5, показывающие скачки давления без отрыва пограничного слоя  $p_{ск}/p_1$ , в несколько раз превышающие величины скачка при отрыве  $p_{п}/p_1$  (кривая  $I$ ).

Боковые клинья воздухозаборника 3—3 на рис. 1 (вызывающие возникновение вторичных, боковых, скачков 4—4 на рис. 1, 2—2 на рис. 3, 4) приводят к образованию около них безотрывного течения во всех случаях не только без поперечного отрыва, но и при его наличии. Это течение видно на рис. 3, а, в, его безотрывности способствует косой снос пограничного слоя, описанный выше (вдоль локальных косых отрывов справа и слева), частично остающийся и при возникновении поперечного отрыва, как видно на рис. 3, в. Безотрывные боковые течения, направляясь под углом справа и слева к середине воздухозаборника, в случае поперечного отрыва (см. рис. 3, в) далее смыкаются друг с другом в начале канала воздухозаборника и, следовательно, тоже локализуют область поперечного отрыва, придавая ей на поверхности лотка воздухозаборника форму треугольника с основанием — линией поперечного отрыва — и с вершиной сзади — в середине лотка в начале канала воздухозаборника. Сверху, в толще потока, эта область отрыва тоже локализована жидкой границей подобно тому, как приведено на рис. 3, б для косого локального отрыва.

Таким образом, для конвергентных воздухозаборников с косо проходящими по их поверхностям косыми скачками уплотнения проведенное экспериментальное исследование показало, что механизм течения в них, включая эффекты, связанные с пограничным слоем, вопреки первоначальным опасениям, благоприятен для эффективной работы воздухозаборника. Причем это относится не только к режимам без головной волны перед входом в канал, но и к режимам с такой головной волной. Она, как известно, неизбежно возникает у любого воздухозаборника (будь он традиционного типа или конвергентного) на соответствующих режимах — при достаточно малых  $M_{h_i}$ , при достаточно больших углах атаки, при дросселировании воздухозаборника и т. п.

В 1940-х годах при разработке основ аэродинамики стреловидных крыльев в ЦАГИ В. В. Струминским с сотрудниками [14] создана теория эффекта скольжения с поперечными токами в пограничном слое и выявлено их сильное влияние на обтекание крыла и все его характеристики.

Данная работа аналогична этим результатам по пограничному слою: на таких крыльях происходит косой снос пограничного слоя, связанный с тем, что градиенты давления на их поверхностях направлены под углом 5\*

к потоку; в течениях типа, рассмотренного в данной работе, косой снос пограничного слоя вызывается косо идущими по поверхности скачками давления и тоже оказывает сильное влияние на течение, в КВЗ весьма благоприятное.

#### ЛИТЕРАТУРА

1. Connors J. F., Obery L. J. Some considerations of hypersonic inlets.— In: Combustion and propulsion: Fourth AGARD colloquium. N. Y.: Pergamon Press, 1961.
2. Блохин А. М., Ветлуцкая Л. М. и др. Конвергентные входные диффузоры и осесимметричные сверхзвуковые конические течения сжатия Буземана.— В кн.: Аэрофизические исследования. Новосибирск: ИТПМ СО АН СССР, 1972, вып. 1.
3. Гутов Б. И., Затолока В. В. Конвергентные входные диффузоры с начальным скачком и дополнительным внешним сжатием.— В кн.: Аэрофизические исследования. Новосибирск: ИТПМ СО АН СССР, 1973, вып. 2.
4. Затолока В. В., Кисель Г. А. Испытания гиперзвукового конвергентного воздухозаборника при  $M = 1,76 - 6$ .— В кн.: Вопросы газодинамики. Новосибирск: ИТПМ СО АН СССР, 1975, вып. 5.
5. Trexler C. A. Inlet performance of the integrated Langley scramjet module (Mach 2, 3 to 6, 7). AIAA Paper, 1975, N 75-1212.
6. Затолока В. В., Кисель Г. А. Стреловидный поверхностный слив пограничного слоя в гиперзвуковом воздухозаборнике.— В кн.: Физическая газодинамика. Новосибирск: ИТПМ СО АН СССР, 1976, вып. 6.
7. Гутов Б. И., Затолока В. В. Пространственные воздухозаборники с внешним сжатием (конвергентные), построенные на основе плоских течений.— В кн.: Вопросы газодинамики. Новосибирск: ИТПМ СО АН СССР, 1975, вып. 5.
8. Чжен П. Отрывные течения. М.: Мир, 1972, т. 1-3.
9. Демьяненко В. С., Игумнов В. А. Пространственное взаимодействие ударной волны с турбулентным пограничным слоем в области интерференции пересекающихся поверхностей.— Изв. СО АН СССР, сер. техн. наук, 1975, вып. 2, № 8.
10. Korkegi R. H. A simple correlation for incipient turbulent boundary layer separation due to a skewed shock wave.— AIAA J., 1973, v. 22, N 11.
11. Гутов Б. И., Затолока В. В. Расчетное и экспериментальное исследование новых конфигураций конвергентных воздухозаборников с пространственными комбинациями течений. Препринт № 30-83. Новосибирск: ИТПМ СО АН СССР, 1983.
12. Абрамович Г. И. Прикладная газовая динамика. М.: Наука, 1976.
13. Затолока В. В., Зудов В. И. и др. Экспериментальное исследование течений на режимах перерасширения в плоском сопле.— Изв. СО АН СССР, сер. техн. наук, 1978, вып. 1, № 3.
14. Струминский В. В. Аэродинамика стреловидных крыльев средних и малых удлинений. Препринты № 12 (ч. I) и № 13 (ч. II). М.: АН СССР. Сектор механики неоднородных сред, 1983.

Поступила 28/1 V 1984 г.

УДК 536.46

#### ЗАКОНОМЕРНОСТИ КОНВЕКТИВНОГО ВИХРЕОБРАЗОВАНИЯ ЗА ФРОНТОМ ПЛАМЕНИ ПРИ ЕГО РАСПРОСТРАНЕНИИ В ТРУБЕ

C. A. Абруков, B. P. Самсонов

(Чебоксары)

Широкий класс явлений горения сопровождается сильным влиянием возникающих в поле сил тяжести свободноконвективных течений. В некоторых случаях это влияние вызывает образование вихревых структур и ведет к существенным изменениям в протекании процесса горения [1-7]. В настоящее время явления вихреобразования при горении изучены недостаточно, особенно в экспериментальном плане. Даже для наиболее изученного объекта — пламени, распространяющегося в трубе, гидродинамика продуктов горения в поле сил тяжести также оказалась за рамками как экспериментальных, так и теоретических исследований.

В данной работе рассматриваются закономерности и условия конвективного вихреобразования в продуктах горения при распространении медленного устойчивого пламени в вертикальной полуоткрытой трубе.

Основной элемент экспериментальной установки — реакционная труба, представляющая собой полуоткрытый канал квадратного